

# Filtragem Linear

Alexandre Xavier Falcão

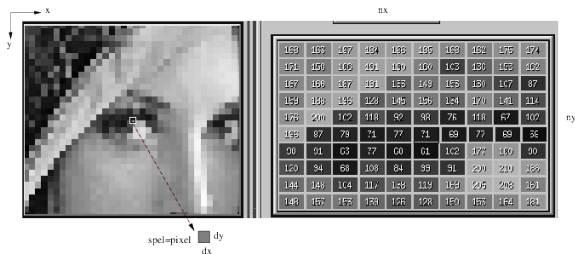
Instituto de Computação - UNICAMP

[afalcao@ic.unicamp.br](mailto:afalcao@ic.unicamp.br)

- Filtros lineares têm hoje um papel fundamental na extração de medidas (características) em redes neurais convolucionais.
- A filtragem linear resulta da **convolução** entre uma imagem (sinal) e um *kernel*.
- Portanto, para entender a filtragem linear, precisamos dos conceitos de imagem, adjacência, kernel, e convolução.

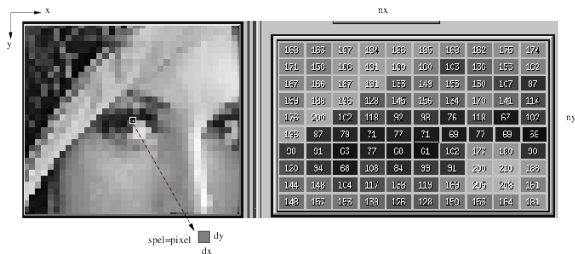
# Imagem

Uma imagem  $\hat{I}$  é um par  $(D_I, \mathbf{I})$  em que a função  $\mathbf{I}$  pode associar um conjunto de medidas  $\mathbf{I}(p) = \{I_1(p), I_2(p), \dots, I_n(p)\}$  para cada elemento (pixel) do seu domínio espacial  $D_I \in \mathbb{Z}^m$ . No caso mais simples,  $m = 2$ ,  $p = (x_p, y_p)$ ,  $|D_I| = n_x \times n_y$ ,  $n = 1$ , e  $\mathbf{I}(p)$  é um escalar — i.e., a imagem é monocromática.



# Imagem

Uma imagem  $\hat{I}$  é um par  $(D_I, \mathbf{I})$  em que a função  $\mathbf{I}$  pode associar um conjunto de medidas  $\mathbf{I}(p) = \{I_1(p), I_2(p), \dots, I_n(p)\}$  para cada elemento (pixel) do seu domínio espacial  $D_I \in \mathbb{Z}^m$ . No caso mais simples,  $m = 2$ ,  $p = (x_p, y_p)$ ,  $|D_I| = n_x \times n_y$ ,  $n = 1$ , e  $\mathbf{I}(p)$  é um escalar — i.e., a imagem é monocromática.



Neste caso, simplificando a notação, a imagem é o par  $\hat{I} = (D_I, I)$ .

# Relação de Adjacência

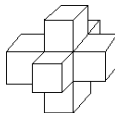
Uma relação de adjacência é um relação binária definida em  $D_I \times D_I$  com base em uma métrica entre pixels.



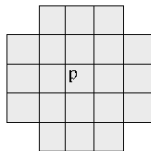
4 neighbors(2D)



8 neighbors(2D)



6 neighbors(3D)

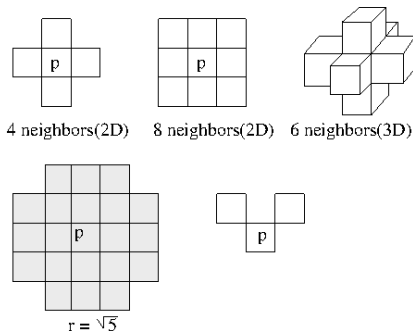


$r = \sqrt{5}$



# Relação de Adjacência

Uma relação de adjacência é um relação binária definida em  $D_I \times D_I$  com base em uma métrica entre pixels.



Para simplificar, vamos considerar apenas relações  $\mathcal{A}$  **simétricas** derivadas de

$$\mathcal{A}: \{(p, q) \in \mathcal{A} \mid \|q - p\| \leq r\},$$

onde  $r > 0$  e  $\|\cdot\|$  é a norma Euclideana.

# Detalhes de implementação

- A imagem pode ser armazenada em um vetor  $I[p]$ ,  $p = 0, 1, \dots, |D_I| - 1$ , tal que  $x_p = p \% n_x$  e  $y_p = p / n_x$ . Note que existe uma relação direta entre o índice  $p$  do vetor e o pixel  $p = (x_p, y_p)$ .

# Detalhes de implementação

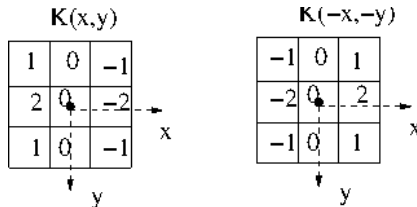
- A imagem pode ser armazenada em um vetor  $I[p]$ ,  $p = 0, 1, \dots, |D_I| - 1$ , tal que  $x_p = p \% n_x$  e  $y_p = p / n_x$ . Note que existe uma relação direta entre o índice  $p$  do vetor e o pixel  $p = (x_p, y_p)$ .
- Para um dado valor de  $r > 0$ , vamos considerar  $q_i = (x_{q_i}, y_{q_i}) \in D_I$ ,  $i = 0, 1, 2, \dots, |\mathcal{A}| - 1$ , como os pixels adjacentes de  $p = (x_p, y_p) \in D_I$  (i.e.,  $(p, q_i) \in \mathcal{A}$ ).



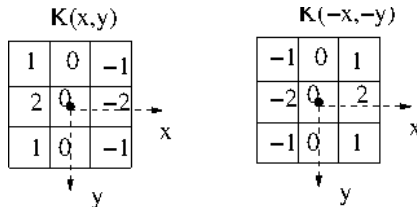
# Detalhes de implementação

- A imagem pode ser armazenada em um vetor  $I[p]$ ,  $p = 0, 1, \dots, |D_I| - 1$ , tal que  $x_p = p \% n_x$  e  $y_p = p / n_x$ . Note que existe uma relação direta entre o índice  $p$  do vetor e o pixel  $p = (x_p, y_p)$ .
- Para um dado valor de  $r > 0$ , vamos considerar  $q_i = (x_{q_i}, y_{q_i}) \in D_I$ ,  $i = 0, 1, 2, \dots, |\mathcal{A}| - 1$ , como os pixels adjacentes de  $p = (x_p, y_p) \in D_I$  (i.e.,  $(p, q_i) \in \mathcal{A}$ ).
- Então podemos armazenar apenas os **deslocamentos**  $(dx_i, dy_i) = (x_{q_i}, y_{q_i}) - (x_p, y_p)$  em vetores  $dx[i]$  e  $dy[i]$  e acessar todo pixel  $q_i$  a partir de qualquer pixel  $p$  por  $x_{q_i} = x_p + dx[i]$  e  $y_{q_i} = y_p + dy[i]$ ,  $i = 0, 1, 2, \dots, |\mathcal{A}| - 1$ . Normalmente  $dx[0] = dy[0] = 0$ , facilitando a inclusão/exclusão do pixel  $p$  como seu adjacente.

- Um kernel  $\hat{K}$  é um par  $(\mathcal{A}, K)$  que associa um **peso fixo**  $K(q - p) = w_i$ ,  $i = 0, 1, 2, \dots, |\mathcal{A}| - 1$ , para cada adjacente  $q_i$  de  $p$ .



- Um kernel  $\hat{K}$  é um par  $(\mathcal{A}, K)$  que associa um **peso fixo**  $K(q - p) = w_i$ ,  $i = 0, 1, 2, \dots, |\mathcal{A}| - 1$ , para cada adjacente  $q_i$  de  $p$ .



- Então basta representar um kernel pelos vetores  $dx[i]$ ,  $dy[i]$ , e  $w[i]$ .

# Convolução

- A filtragem linear é essencialmente o resultado da **convolução** de uma imagem  $\hat{I} = (D_I, I)$  por um kernel  $\hat{K} = (\mathcal{A}, K)$  (“imagem móvel”).
- A rigor, o kernel precisa ser refletido com relação à origem de  $\mathcal{A}$ , mas podemos assumir que o kernel já está refletido sem perda de generalidade.
- A convolução  $\hat{I} * \hat{K}$  entre  $\hat{I}$  e  $\hat{K}$  resulta, portanto, uma imagem  $\hat{J} = (D_J, J)$  onde, para todo  $p \in D_J$ ,

$$J(p) = \sum_{\forall (p,q) \in \mathcal{A}} I(q)K(q-p) = \sum_{i=0}^{|\mathcal{A}|-1} I(q_i)w_i.$$

A rigor,  $D_I \subset D_J$ , mas costumamos adotar  $D_J = D_I$  na filtragem linear.

# Algoritmo de filtragem linear

Entrada:  $\hat{I} = (D_I, I)$  e  $\hat{K} = (\mathcal{A}, K)$ .

Saída:  $\hat{J} = (D_J, J)$ .

1. Para todo  $p \in D_J$ , faça
2.      $J(p) \leftarrow 0$ .
3.     Para todo  $(p, q) \in \mathcal{A}$ , tal que  $q \in D_I$ , faça
4.          $J(p) \leftarrow J(p) + I(q)K(q - p)$ .

# Algoritmo de filtragem linear

Entrada:  $\hat{I} = (D_I, I)$  e  $\hat{K} = (\mathcal{A}, K)$ .

Saída:  $\hat{J} = (D_J, J)$ .

1. Para todo  $p \in D_J$ , faça
2.      $J(p) \leftarrow 0$ .
3.     Para todo  $(p, q) \in \mathcal{A}$ , tal que  $q \in D_I$ , faça
4.          $J(p) \leftarrow J(p) + I(q)K(q - p)$ .

Isto é, basta varrer os vetores de deslocamento  $dx[i]$ ,  $dy[i]$ , calcular  $q_i$ , verificar se  $q_i \in D_I$ , e então acumular no vetor  $J[p]$  o valor  $I[q_i]w[i]$ .

Um exercício interessante é resolver a convolução por multiplicação matricial. Basta criar uma matriz onde as colunas armazenam os valores  $I(p)$  dos pixels de  $\hat{I}$  e as linhas armazenam os valores  $I(q_i)$  de seus adjacentes. O kernel neste caso é uma matriz com uma única linha, onde os elementos das colunas são os pesos  $w_i$ . Multiplica-se a matriz do kernel pela matriz da imagem estendida pela adjacência.

# Exemplo de filtragem linear

O realce de bordas usando os kernels de Sobel é um exemplo típico.

$$K_y = \begin{bmatrix} -1 & -2 & -1 \\ 0 & 0 & 0 \\ 1 & 2 & 1 \end{bmatrix} \quad K_x = \begin{bmatrix} -1 & 0 & 1 \\ -2 & 0 & 2 \\ -1 & 0 & 1 \end{bmatrix}$$

Sendo  $\hat{G}_x = \hat{I} * \hat{K}_x$  e  $\hat{G}_y = \hat{I} * \hat{K}_y$ ,  $\vec{G}(p) = G_x(p)\vec{i} + G_y(p)\vec{j}$  é dito **vetor gradiente** em  $p$ , o qual aponta para a direção de maior variação de brilho.





# Exemplo de filtragem linear

O realce de bordas usando os kernels de Sobel é um exemplo típico.

$$K_y = \begin{bmatrix} -1 & -2 & -1 \\ 0 & 0 & 0 \\ 1 & 2 & 1 \end{bmatrix} \quad K_x = \begin{bmatrix} -1 & 0 & 1 \\ -2 & 0 & 2 \\ -1 & 0 & 1 \end{bmatrix}$$

Sendo  $\hat{G}_x = \hat{I} * \hat{K}_x$  e  $\hat{G}_y = \hat{I} * \hat{K}_y$ ,  $\vec{G}(p) = G_x(p)\vec{i} + G_y(p)\vec{j}$  é dito **vetor gradiente** em  $p$ , o qual aponta para a direção de maior variação de brilho.

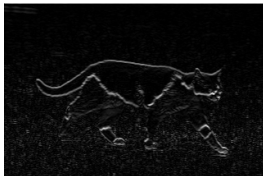


# Exemplo de filtragem linear

O realce de bordas usando os kernels de Sobel é um exemplo típico.

$$K_y = \begin{bmatrix} -1 & -2 & -1 \\ 0 & 0 & 0 \\ 1 & 2 & 1 \end{bmatrix} \quad K_x = \begin{bmatrix} -1 & 0 & 1 \\ -2 & 0 & 2 \\ -1 & 0 & 1 \end{bmatrix}$$

Sendo  $\hat{G}_x = \hat{I} * \hat{K}_x$  e  $\hat{G}_y = \hat{I} * \hat{K}_y$ ,  $\vec{G}(p) = G_x(p)\vec{i} + G_y(p)\vec{j}$  é dito **vetor gradiente** em  $p$ , o qual aponta para a direção de maior variação de brilho.



# Exemplo de filtragem linear

O realce de bordas usando os kernels de Sobel é um exemplo típico.

$$K_y = \begin{bmatrix} -1 & -2 & -1 \\ 0 & 0 & 0 \\ 1 & 2 & 1 \end{bmatrix} \quad K_x = \begin{bmatrix} -1 & 0 & 1 \\ -2 & 0 & 2 \\ -1 & 0 & 1 \end{bmatrix}$$

Sendo  $\hat{G}_x = \hat{I} * \hat{K}_x$  e  $\hat{G}_y = \hat{I} * \hat{K}_y$ ,  $\vec{G}(p) = G_x(p)\vec{i} + G_y(p)\vec{j}$  é dito **vetor gradiente** em  $p$ , o qual aponta para a direção de maior variação de brilho.

